

Федеральное государственное автономное образовательное
учреждение высшего образования

САНКТ-ПЕТЕРБУРГСКИЙ НАЦИОНАЛЬНЫЙ
ИССЛЕДОВАТЕЛЬСКИЙ УНИВЕРСИТЕТ ИТМО

Факультет систем управления и робототехники

Лабораторная работа №2

ПРЕОБРАЗОВАНИЕ ФУРЬЕ

Студент: Овчинников П.А.

Поток: ЧАСТ.МЕТ. 1.3

Преподаватели: Перегудин А.А.

Пашенко А.В.

Санкт-Петербург

2024

Содержание

Задание №1. Вещественное преобразование	3
Прямоугольная функция	3
Треугольная функция	4
Кардинальный синус	6
Функция Гаусса	7
Двустороннее затухание	8
Задание №2. Комплексное преобразование	9
Задание №3. Музыкальное преобразование	12

Перед началом выполнения заданий представлю формулы, которыми мы будем активно пользоваться в этом задании.

Нам понадобится унитарное преобразование Фурье к угловой скорости ω :

$$\hat{f}(\omega) = \frac{1}{\sqrt{2\pi}} \int_{-\infty}^{\infty} f(t) e^{-i\omega t} dt \quad \Leftrightarrow \quad f(t) = \frac{1}{\sqrt{2\pi}} \int_{-\infty}^{\infty} \hat{f}(\omega) e^{i\omega t} d\omega \quad (\text{обратное преобразование})$$

А также равенство Парсеваля для преобразования Фурье:

$$\|f\|_2 = \|\mathcal{F}\|_2 \Rightarrow \int_{-\infty}^{\infty} |f(t)|^2 dt = \int_{-\infty}^{\infty} |\hat{f}(\omega)|^2 d\omega$$

Задание №1. Вещественное преобразование

Зададим несколько значений a и b : $(a, b) = \{(1, 1), (2, 1), (2, 2)\}$. Они нам пригодятся для видоизменения функций, даваемых в задании к рассмотрению.

Прямоугольная функция

Итак, дана следующая функция, для которой мы будем строить Фурье-образ:

$$f(t) = \begin{cases} a, & |t| \leq b \\ 0, & |t| > b \end{cases}$$

Для начала выведем выражение для вычисления Фурье-образа в общем виде:

$$\hat{f}(\omega) = \frac{1}{\sqrt{2\pi}} \int_{-b}^b a e^{-i\omega t} dt = \frac{a e^{i\omega t}}{-\sqrt{2\pi} i \omega} \Big|_{-b}^b = \frac{a (e^{i\omega b} - e^{-i\omega b})}{\omega i \sqrt{2\pi}} = \left[\frac{e^{i\omega b} - e^{-i\omega b}}{i} = 2 \sin \omega b \right] = \frac{2a \sin \omega b}{\omega \sqrt{2\pi}} = \frac{2ab}{\sqrt{2\pi}} \text{sinc } \omega b$$

И для каждого из набора коэффициентов формула приобретает следующий вид:

$$\sqrt{\frac{2}{\pi}} \text{sinc } \omega \text{ для } (1, 1) \quad \sqrt{\frac{8}{\pi}} \text{sinc } \omega \text{ для } (2, 1) \quad \sqrt{\frac{32}{\pi}} \text{sinc } 2\omega \text{ для } (2, 2)$$

И теперь построим графики исходной функции и её Фурье-образа для каждой из пар значений (a, b) , которые мы задали перед выполнением задания.

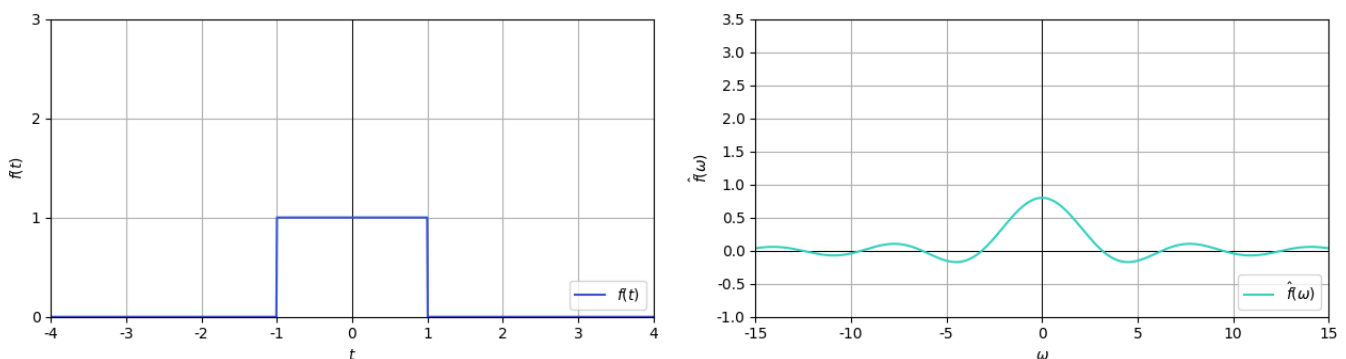
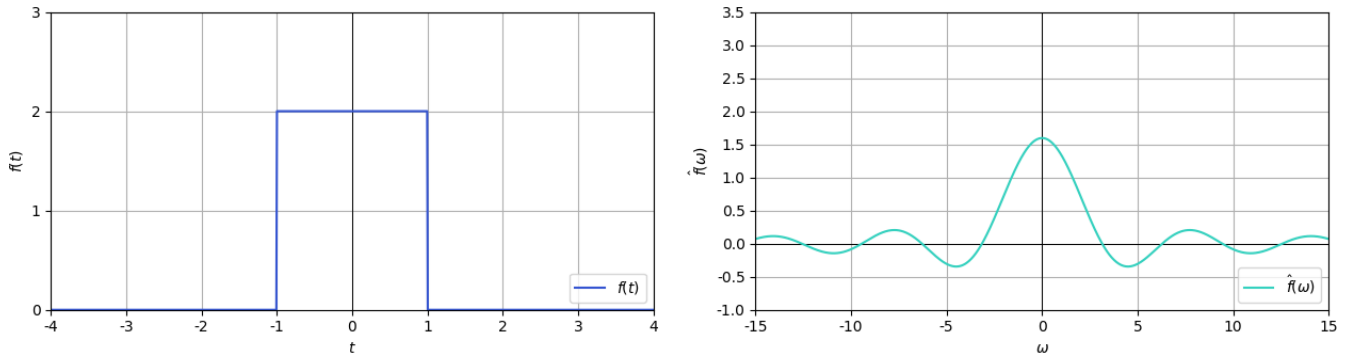
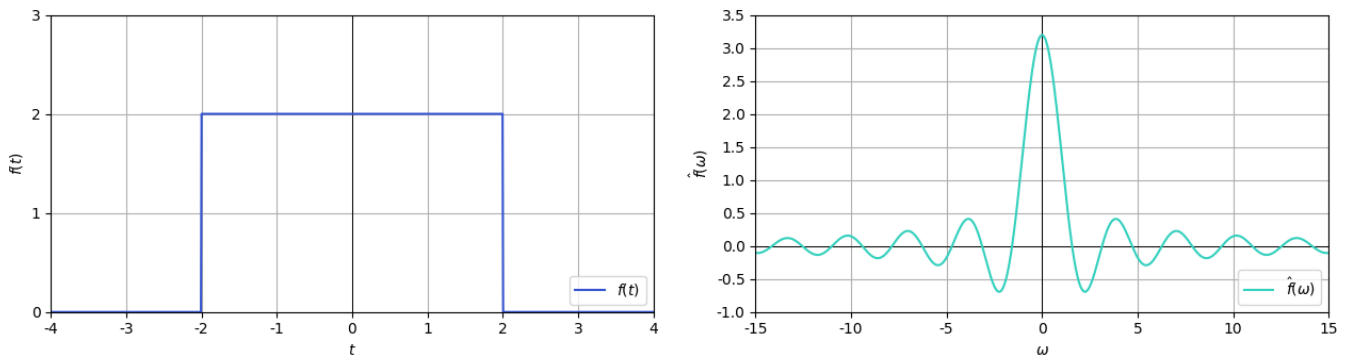


Рис. 1: Графики прямоугольной функции и её Фурье-образа для $a = 1$ и $b = 1$

Рис. 2: Графики прямоугольной функции и её Фурье-образа для $a = 2$ и $b = 1$ Рис. 3: Графики прямоугольной функции и её Фурье-образа для $a = 2$ и $b = 2$

Теперь проверим выполнение равенства Парсеваля для каждого из набора параметров a и b , используя модификацию программы с прошлой лабораторной работы.

```

1 Parseval deviation:      Parseval deviation:      Parseval deviation:
2 ||f||^2 - ||F||^2 | = 0.0063333 | ||f||^2 - ||F||^2 | = 0.0253333 | ||f||^2 - ||F||^2 | = 0.0253036

```

Листинг 1: $a = 1, b = 1$ Листинг 2: $a = 2, b = 1$ Листинг 3: $a = 2, b = 2$

Как мы видим, отклонение по равенству Парсеваля совсем небольшое.

Чтобы понять, как параметры a и b влияют на исходную функцию и Фурье-образ, достаточно взглянуть на их формулы. В исходной функции b влияет на ширину прямоугольника, а a — на его высоту. И согласно формуле Фурье-образа, с изменением a изменяется амплитуда кардинального синуса, а изменение b приводит к изменению не только амплитуды, но и частоты. То же самое мы наблюдаем и на графиках.

Треугольная функция

Итак, дана следующая функция, для которой мы будем строить Фурье-образ:

$$f(t) = \begin{cases} a - |at/b|, & |t| \leq b \\ 0, & |t| > b \end{cases}$$

Для начала выведем выражение для вычисления Фурье-образа в общем виде:

$$\begin{aligned} \hat{f}(\omega) &= \frac{1}{\sqrt{2\pi}} \int_{-b}^b \left(a - \left| \frac{at}{b} \right| \right) e^{-i\omega t} dt = \frac{1}{\sqrt{2\pi}} \left(\int_0^b \left(a - \frac{at}{b} \right) e^{-i\omega t} dt + \int_{-b}^0 \left(a + \frac{at}{b} \right) e^{-i\omega t} dt \right) = \\ &= \frac{a}{\sqrt{2\pi}} \left(\int_0^b \left(1 - \frac{t}{b} \right) e^{-i\omega t} dt + \int_{-b}^0 \left(1 + \frac{t}{b} \right) e^{-i\omega t} dt \right) = \frac{a}{\sqrt{2\pi}} \left(\frac{(i\omega(t+b)+1)e^{-i\omega t}}{b\omega^2} \Big|_{-b}^0 - \frac{(i\omega(t-b)+1)e^{-i\omega t}}{b\omega^2} \Big|_0^b \right) = \end{aligned}$$

$$\begin{aligned}
&= \frac{a}{\sqrt{2\pi}} \left(\frac{i\omega b + 1 - e^{i\omega b}}{b\omega^2} - \frac{e^{-i\omega b} - 1 + i\omega b}{b\omega^2} \right) = \frac{-a}{\omega^2 b \sqrt{2\pi}} (e^{-i\omega b} + e^{i\omega b} - 2) = [e^{i\omega b} + e^{-i\omega b} = 2 \cos \omega b] = \\
&= \frac{a(2 - 2 \cos \omega b)}{\omega^2 b \sqrt{2\pi}} = [2 - 2 \cos \omega b = 4 \sin^2 \omega b/2] = \frac{4a \sin^2 \omega b/2}{\omega^2 b \sqrt{2\pi}} = \frac{ab}{\sqrt{2\pi}} \text{sinc}^2 \frac{\omega b}{2}
\end{aligned}$$

Для каждого из набора коэффициентов формула приобретает следующий вид:

$$\frac{1}{\sqrt{2\pi}} \text{sinc}^2 \frac{\omega}{2} \text{ для } (1, 1) \quad \sqrt{\frac{2}{\pi}} \text{sinc}^2 \frac{\omega}{2} \text{ для } (2, 1) \quad \sqrt{\frac{8}{\pi}} \text{sinc}^2 \omega \text{ для } (2, 2)$$

И теперь построим графики исходной функции и её Фурье-образа для каждой из пар значений (a, b) , которые мы задали перед выполнением задания.

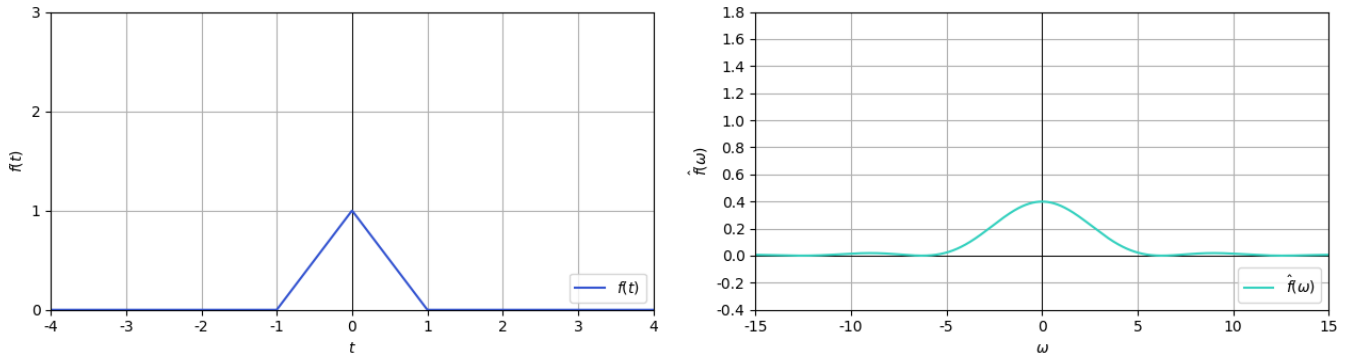


Рис. 4: Графики треугольной функции и её Фурье-образа для $a = 1$ и $b = 1$

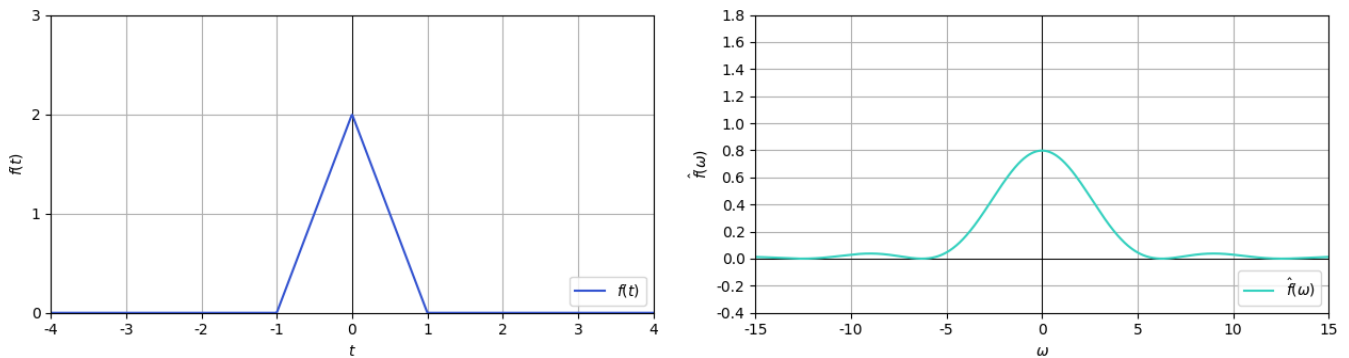


Рис. 5: Графики треугольной функции и её Фурье-образа для $a = 2$ и $b = 1$

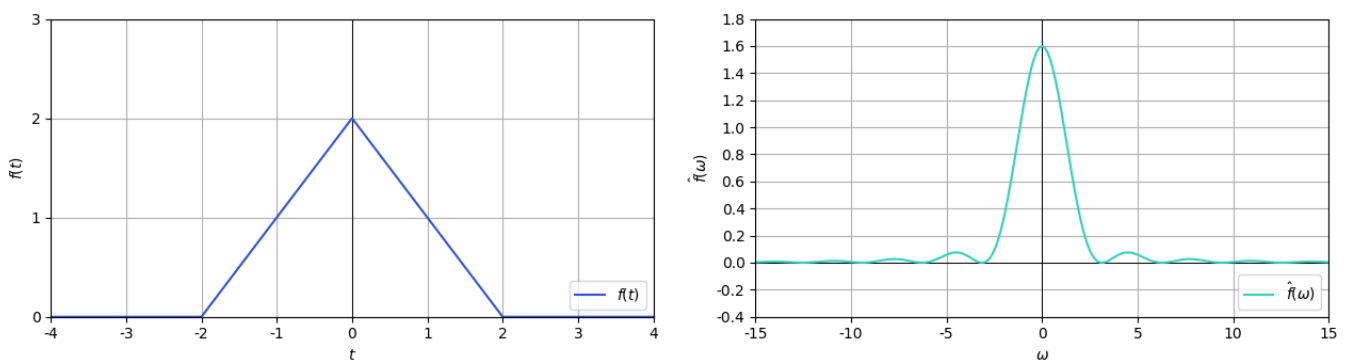


Рис. 6: Графики треугольной функции и её Фурье-образа для $a = 2$ и $b = 2$

Теперь проверим выполнение равенства Парсеваля для каждого из набора параметров a и b , используя модификацию программы с прошлой лабораторной работы.

```

1 Parseval deviation:      Parseval deviation:      Parseval deviation:
2 | ||f||^2 - ||F||^2 | = 0.0000006 | ||f||^2 - ||F||^2 | = 0.0000025 | ||f||^2 - ||F||^2 | = 0.0000006

```

Листинг 4: $a = 1, b = 1$

Листинг 5: $a = 2, b = 1$

Листинг 6: $a = 2, b = 2$

При более низкой точности отклонение было бы нулевым, но тем не менее в последних разрядах всё ещё есть цифры ;)

В исходной функции b влияет на ширину основания треугольника, а a — на длину его высоты. И согласно формуле Фурье-образа, с изменением a изменяется амплитуда кардинального синуса, а изменение b приводит к изменению не только амплитуды, но и частоты. То же самое мы наблюдаем и на графиках.

Кардинальный синус

Итак, перед нами новая функция, для которой мы будем строить Фурье-образ: $f(t) = a \operatorname{sinc} bt$.

Предоставляю результат вычисления Фурье-образа в общем виде, выполненный в Wolfram Alpha:

$$\hat{f}(\omega) = \frac{1}{\sqrt{2\pi}} \int_{-\infty}^{\infty} a \operatorname{sinc}(bt) e^{-i\omega t} dt = \frac{a}{\sqrt{2\pi}} \int_{-\infty}^{\infty} \operatorname{sinc}(bt) e^{-i\omega t} dt = \frac{a\pi}{\sqrt{2\pi}|b|} \begin{cases} 0 & b^2/\omega^2 \leq 1 \\ 1 & \text{otherwise} \end{cases} = \begin{cases} 0 & -1 \leq b/\omega \leq 1 \\ \sqrt{\frac{\pi}{2}} \frac{a}{|b|} & \text{otherwise} \end{cases}$$

И теперь построим графики исходной функции и её Фурье-образа для каждой из пар значений (a, b) , которые мы задали перед выполнением задания.

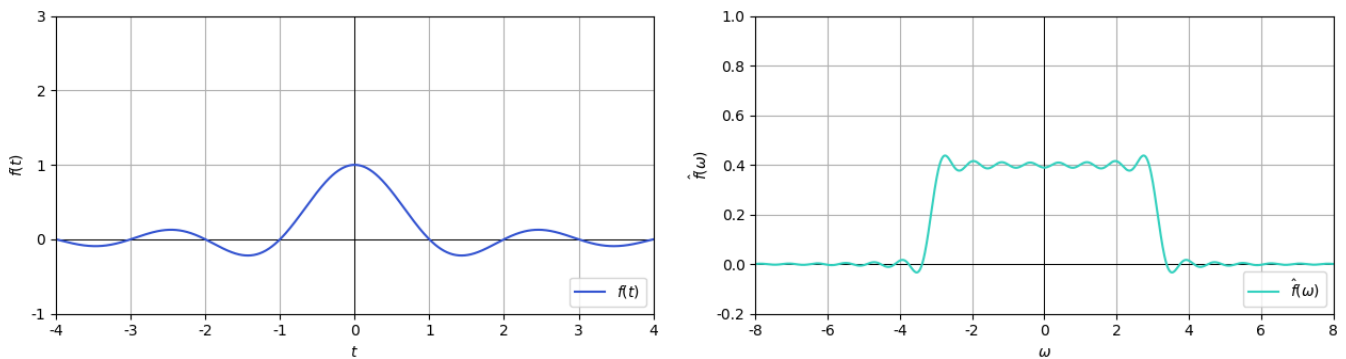


Рис. 7: Графики кардинального синуса и его Фурье-образа для $a = 1$ и $b = 1$

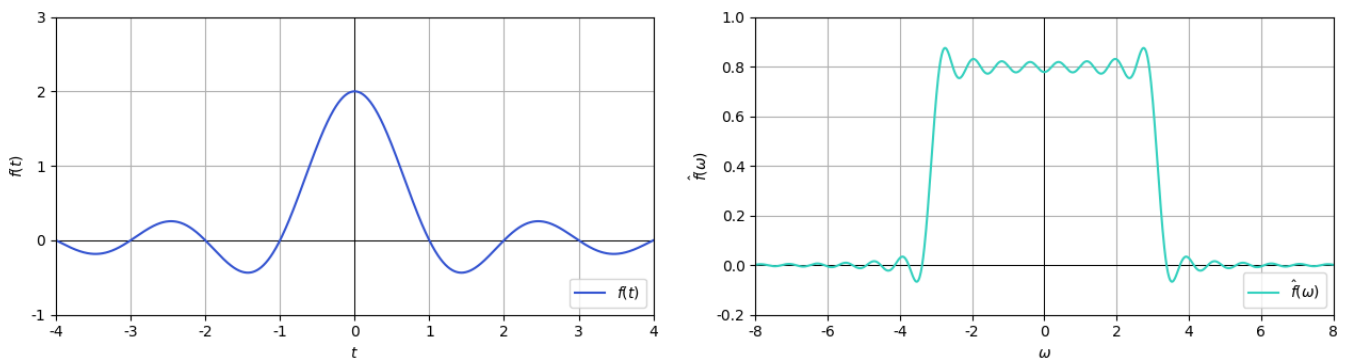
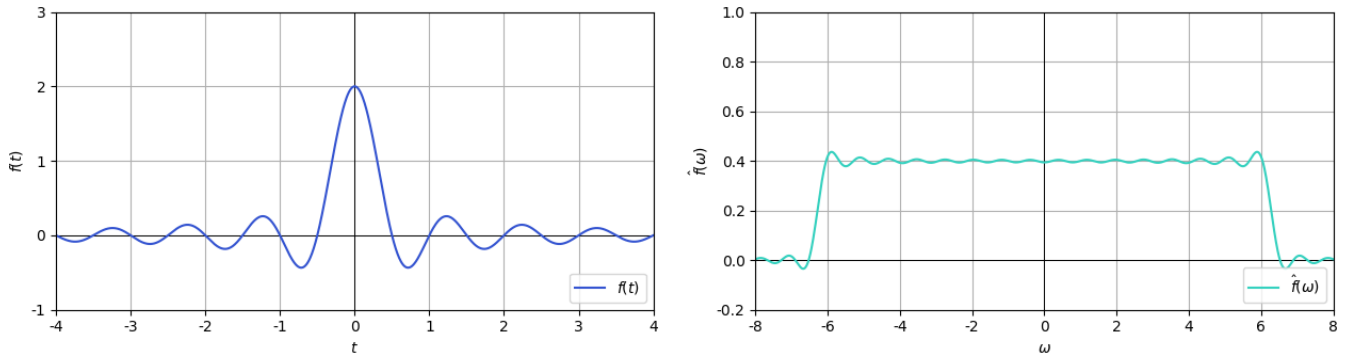


Рис. 8: Графики кардинального синуса и его Фурье-образа для $a = 2$ и $b = 1$

Рис. 9: Графики кардинального синуса и его Фурье-образа для $a = 2$ и $b = 2$

Теперь проверим выполнение равенства Парсеваля для каждого из набора параметров a и b , используя модификацию программы с прошлой лабораторной работы.

```

1 Parseval deviation:      Parseval deviation:      Parseval deviation:
2 | ||f||^2 - ||F||^2 | = 0.0000002 | ||f||^2 - ||F||^2 | = 0.0000009 | ||f||^2 - ||F||^2 | = 0.0000002

```

Листинг 7: $a = 1, b = 1$ Листинг 8: $a = 2, b = 1$ Листинг 9: $a = 2, b = 2$

И, опять же, наблюдаем практически полное отсутствие отклонение по равенству Парсеваля.

Говоря о влиянии параметров a и b на вид исходной функции и Фурье-образа: параметр a прямо пропорционально влияет на амплитуду обеих функций, а параметр b прямо пропорционально влияет на частоту исходной функции и на ширину приподнятого участка Фурье-образа, а также обратно пропорционально влияет на амплитуду Фурье-образа. И, что примечательно, частота второй гармоники Фурье-образа остаётся неизменной. То же самое мы наблюдаем и на графиках.

Функция Гаусса

А теперь мы будем строить Фурье-образ для функции Гаусса: $f(t) = a e^{-bt^2}$.

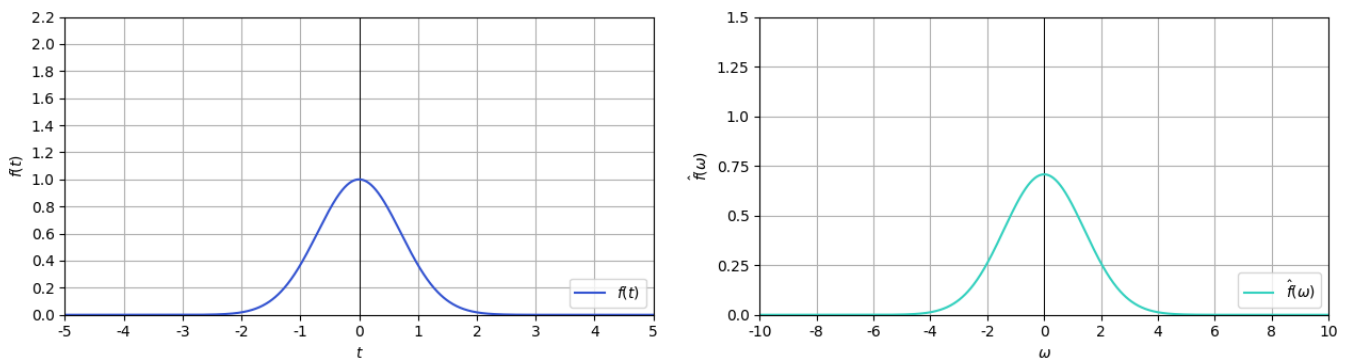
Предоставляю результат вычисления Фурье-образа в общем виде, выполненный в Wolfram Alpha:

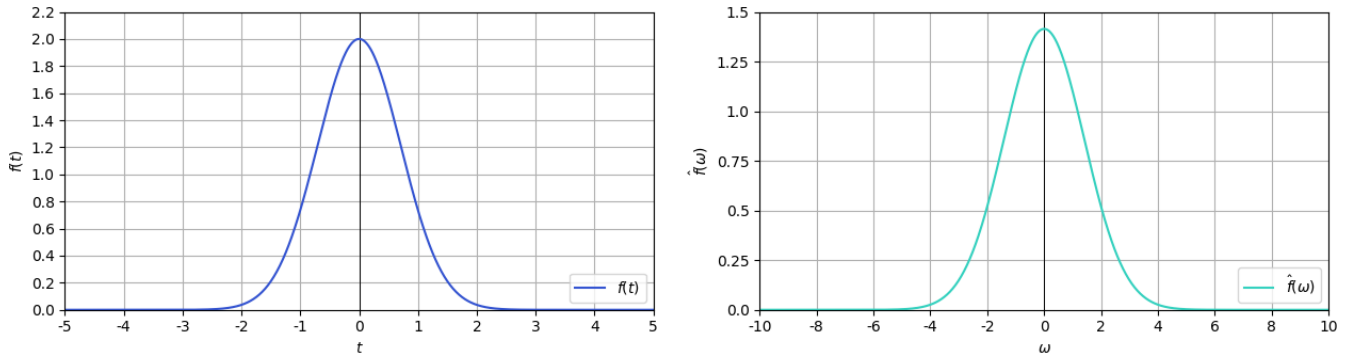
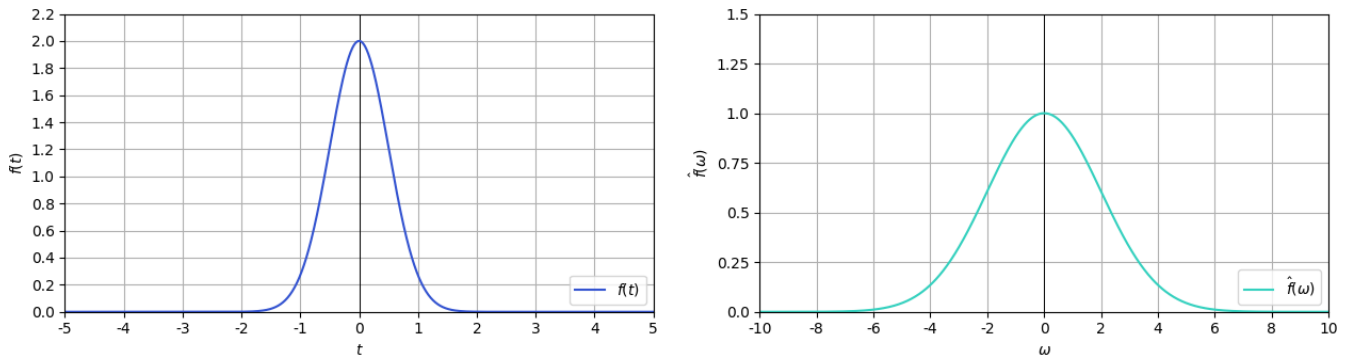
$$\hat{f}(\omega) = \frac{1}{\sqrt{2\pi}} \int_{-\infty}^{\infty} a e^{-bt^2} e^{-i\omega t} dt = \frac{a}{\sqrt{2\pi}} \int_{-\infty}^{\infty} e^{-bt^2 - i\omega t} dt = \frac{a\sqrt{\pi} e^{-\omega^2/4b}}{\sqrt{2\pi b}} = \frac{a e^{-\omega^2/4b}}{\sqrt{2b}}$$

Для каждого из набора коэффициентов формула приобретает следующий вид:

$$\frac{e^{-\omega^2/4}}{\sqrt{2}} \text{ для } (1, 1) \quad \sqrt{2} e^{-\omega^2/4} \text{ для } (2, 1) \quad e^{-\omega^2/8} \text{ для } (2, 2)$$

Пришло время строить графики исходной функции и её Фурье-образа для каждой из пар значений (a, b) , которые мы задали перед выполнением задания.

Рис. 10: Графики функции Гаусса и её Фурье-образа для $a = 1$ и $b = 1$

Рис. 11: Графики функции Гаусса и её Фурье-образа для $a = 2$ и $b = 1$ Рис. 12: Графики функции Гаусса и её Фурье-образа для $a = 2$ и $b = 2$

Теперь проверим выполнение равенства Парсеваля для каждого из набора параметров a и b , используя модификацию программы с прошлой лабораторной работы.

```

1 Parseval deviation:      Parseval deviation:      Parseval deviation:
2 | ||f||^2 - ||F||^2 | = 0.0008553 | ||f||^2 - ||F||^2 | = 0.0034212 | ||f||^2 - ||F||^2 | = 0.0000000

```

Листинг 10: $a = 1, b = 1$ Листинг 11: $a = 2, b = 1$ Листинг 12: $a = 2, b = 2$

Наблюдаем низкое отклонение по равенству Парсеваля, что говорит о хорошем приближении Фурье-образа к исходной функции.

В исходной функции b обратно пропорционально влияет на её ширину, а a влияет прямо пропорционально на амплитуду. Для Фурье-образа с увеличением a растёт амплитуда, а изменение b прямо пропорционально изменяет её ширину и обратно пропорционально изменяет её амплитуду. То же самое мы наблюдаем и на графиках.

Двустороннее затухание

И перед нами последняя функция из тех, для которых строится вещественный Фурье-образ: $f(t) = a e^{-b|t|}$.

Для начала выведем выражение для вычисления Фурье-образа в общем виде:

$$\begin{aligned}
 \hat{f}(\omega) &= \frac{1}{\sqrt{2\pi}} \int_{-\infty}^{\infty} a e^{-b|t|} e^{-i\omega t} dt = \frac{a}{\sqrt{2\pi}} \int_{-\infty}^{\infty} e^{-b|t| - i\omega t} dt = \frac{a}{\sqrt{2\pi}} \left(\int_0^{\infty} e^{-t(b+i\omega)} dt + \int_{-\infty}^0 e^{t(b-i\omega)} dt \right) = \\
 &= \frac{a}{\sqrt{2\pi}} \left(\left. \frac{e^{t(b-i\omega)}}{b-i\omega} \right|_{-\infty}^0 + \left. \frac{e^{-t(b+i\omega)}}{b+i\omega} \right|_0^{\infty} \right) = \frac{a}{\sqrt{2\pi}} \left(\frac{1}{b-i\omega} - \cancel{\frac{e^{-\infty(b-i\omega)}}{b-i\omega}} + \frac{1}{b+i\omega} - \cancel{\frac{e^{-\infty(b+i\omega)}}{b+i\omega}} \right) = \\
 &= \frac{a}{\sqrt{2\pi}} \left(\frac{1}{b-i\omega} + \frac{1}{b+i\omega} \right) = \frac{2ab}{\sqrt{2\pi}(b^2 + \omega^2)} = \frac{ab}{(b^2 + \omega^2)} \sqrt{\frac{2}{\pi}}
 \end{aligned}$$

И теперь построим графики исходной функции и её Фурье-образа для каждой из пар значений (a, b) , которые мы задали перед выполнением задания.

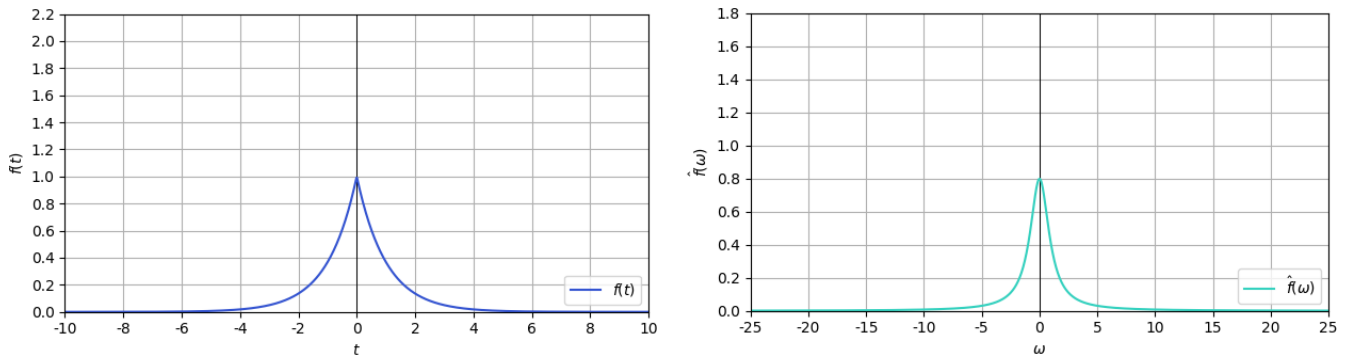


Рис. 13: Графики двустороннего затухания и его Фурье-образа для $a = 1$ и $b = 1$

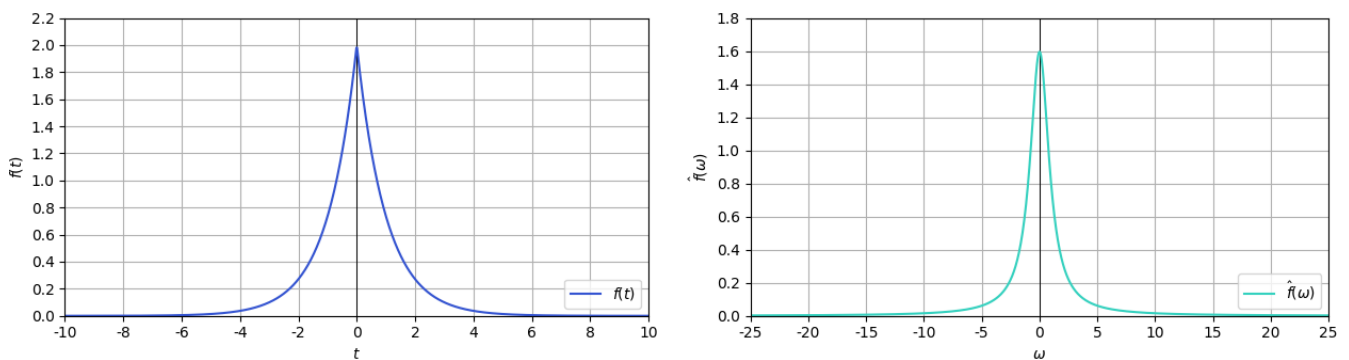


Рис. 14: Графики двустороннего затухания и его Фурье-образа для $a = 2$ и $b = 1$

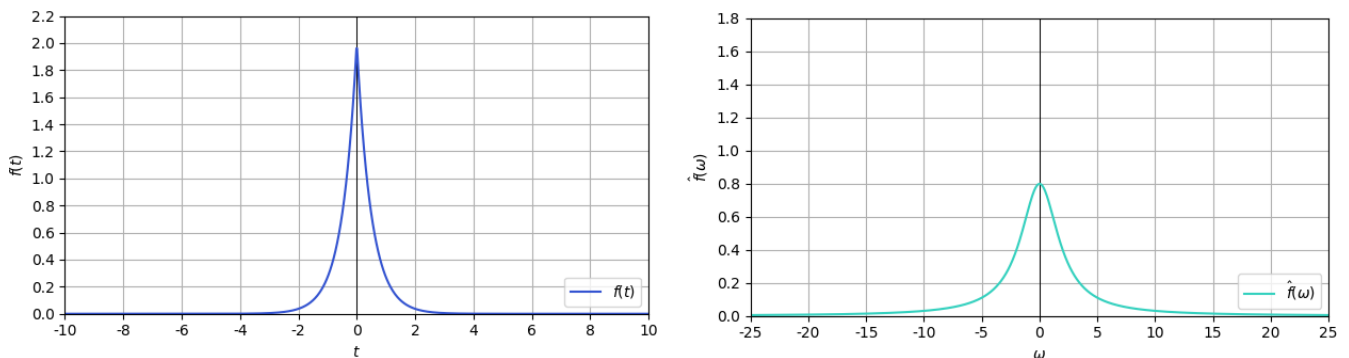


Рис. 15: Графики двустороннего затухания и его Фурье-образа для $a = 2$ и $b = 2$

Теперь проверим выполнение равенства Парсеваля для каждого из набора параметров a и b , используя модификацию программы с прошлой лабораторной работы.

```
1 Parseval deviation: Parseval deviation: Parseval deviation:
2 | ||f||^2 - ||F||^2 | = 0.0008574 | ||f||^2 - ||F||^2 | = 0.0034297 | ||f||^2 - ||F||^2 | = 0.0000153
```

Листинг 13: $a = 1, b = 1$

Листинг 14: $a = 2, b = 1$

Листинг 15: $a = 2, b = 2$

И вновь перед нами низкое отклонение по равенству Парсеваля, что говорит о хорошем приближении Фурье-образа к исходной функции.

В исходной функции b влияет на ширину основания треугольника, а a — на длину его высоты. И согласно формуле Фурье-образа, с изменением a изменяется амплитуда кардинального синуса, а изменение b приводит к изменению не только амплитуды, но и частоты. То же самое мы наблюдаем и на графиках.

Задание №2. Комплексное преобразование

В этом задании, как и в предыдущем, нам понадобится унитарное преобразование Фурье к угловой частоте. Мы будем сдвигать треугольную функцию вправо и влево — для этого возьмём два положительных и два отрицательных коэффициента $c = \{-5, -2, 3, 4\}$. И зафиксируем у треугольной функции $a = 1$ и $b = 2$. Тогда функция к рассмотрению следующая:

$$f(t) = \begin{cases} 1 - |t/2|, & |t| \leq 2 \\ 0, & |t| > 2 \end{cases}$$

Определим функцию $g(t) = f(t + c)$. Тогда с учётом выше заданного набора c она приобретает такой вид:

$$g(t) = \begin{cases} 1 - \left|\frac{t-5}{2}\right|, & |t-5| \leq 2 \\ 0, & |t-5| > 2 \end{cases} \text{ для } c = -5 \quad g(t) = \begin{cases} 1 - \left|\frac{t-2}{2}\right|, & |t-2| \leq 2 \\ 0, & |t-2| > 2 \end{cases} \text{ для } c = -2$$

$$g(t) = \begin{cases} 1 - \left|\frac{t+3}{2}\right|, & |t+3| \leq 2 \\ 0, & |t+3| > 2 \end{cases} \text{ для } c = 3 \quad g(t) = \begin{cases} 1 - \left|\frac{t+4}{2}\right|, & |t+4| \leq 2 \\ 0, & |t+4| > 2 \end{cases} \text{ для } c = 4$$

Но преобразовывать функцию к Фурье-образу мы будем в общем виде $f(t + c)$ и только затем уже подставлять конкретные значения c :

$$\begin{aligned} \hat{g}(\omega) &= \frac{1}{\sqrt{2\pi}} \int_{-2}^2 \left(1 - \left|\frac{t+c}{2}\right|\right) e^{-i\omega t} dt = \frac{1}{\sqrt{2\pi}} \int_{-2}^2 \left(1 - \left|\frac{t}{2}\right|\right) e^{-i\omega(t-c)} dt = \\ &= \frac{1}{\sqrt{2\pi}} \left(\int_0^2 \left(1 - \frac{t}{2}\right) e^{-i\omega(t-c)} dt + \int_{-2}^0 \left(1 + \frac{t}{2}\right) e^{-i\omega(t-c)} dt \right) = \frac{1}{\sqrt{2\pi}} \left(\left. \frac{(i\omega(t+2)+1)e^{i\omega(c-t)}}{2\omega^2} \right|_0^2 - \right. \\ &\quad \left. - \frac{(i\omega(t-2)+1)e^{i\omega(c-t)}}{2\omega^2} \right|_0^2 \Big) = \frac{1}{\sqrt{2\pi}} \left(\frac{2e^{i\omega c} - e^{i\omega(c-2)} - e^{i\omega(c+2)}}{2\omega^2} \right) = \frac{-e^{i\omega c}}{2\omega^2\sqrt{2\pi}} (e^{-2i\omega} + e^{2i\omega} - 2) = \\ &= [e^{2i\omega} + e^{-2i\omega} = 2\cos 2\omega] = \frac{e^{i\omega c}(2 - 2\cos 2\omega)}{2\omega^2\sqrt{2\pi}} = [2 - 2\cos 2\omega = 4\sin^2 \omega] = \frac{4e^{i\omega c}\sin^2 \omega}{2\omega^2\sqrt{2\pi}} = \frac{2e^{i\omega c}}{\sqrt{2\pi}} \text{sinc}^2 \omega \end{aligned}$$

Сравнивая с Фурье-образом треугольной функции без сдвигов при тех же коэффициентах выясняем, что разница между $\hat{f}(\omega)$ и $\hat{g}(\omega)$ в множителе $e^{i\omega c}$, который как раз и придаёт Фурье-образу комплексные свойства.

Рассмотрим графики функции $g(t)$ с разными сдвигами:

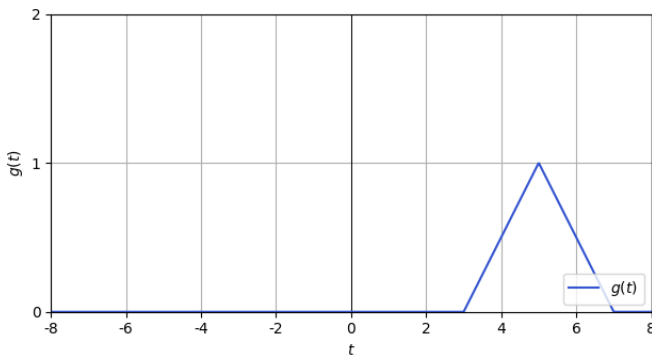


Рис. 16: График функции $g(t)$ со сдвигом $c = -5$

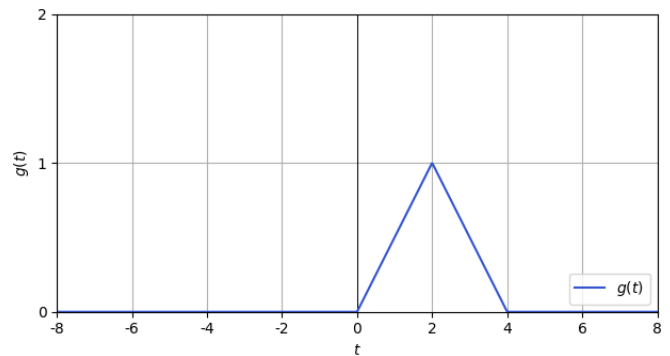
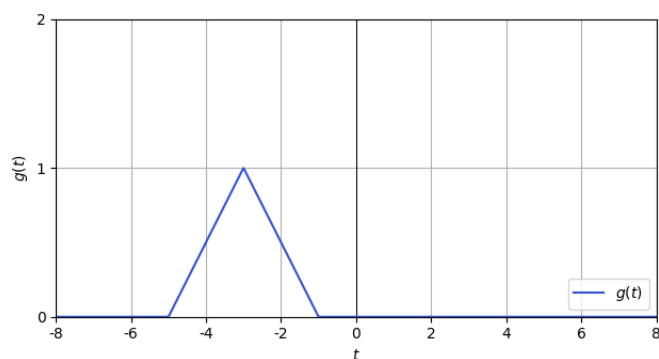
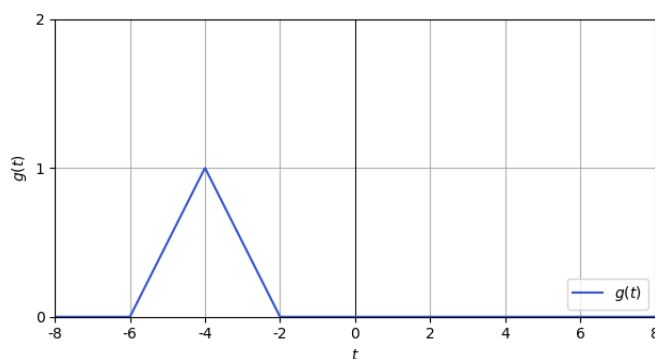
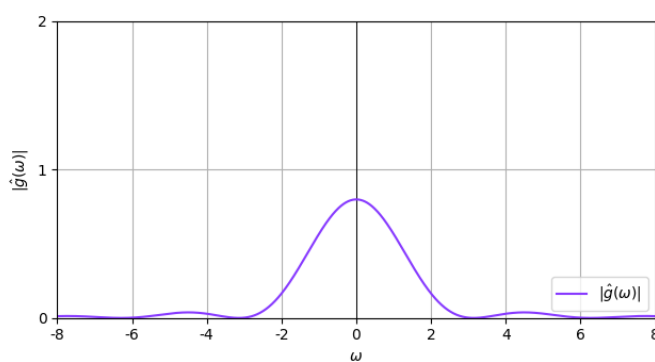
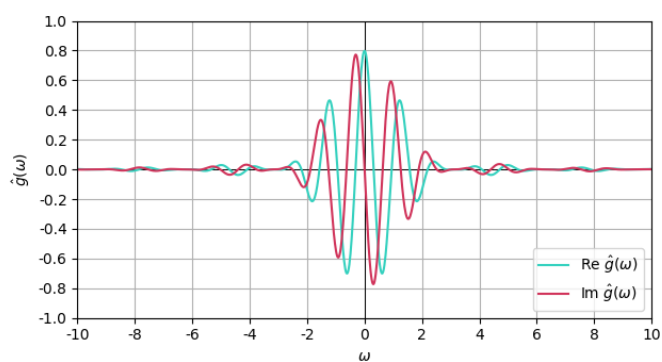
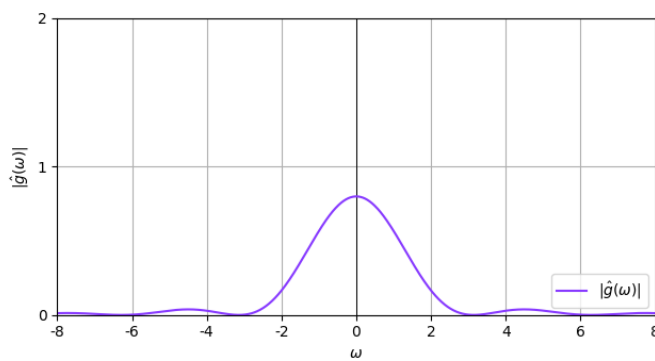
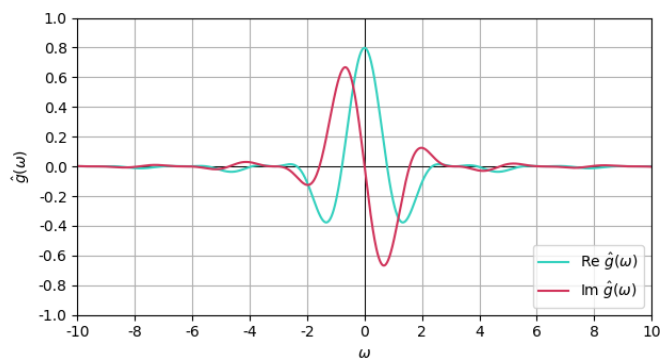
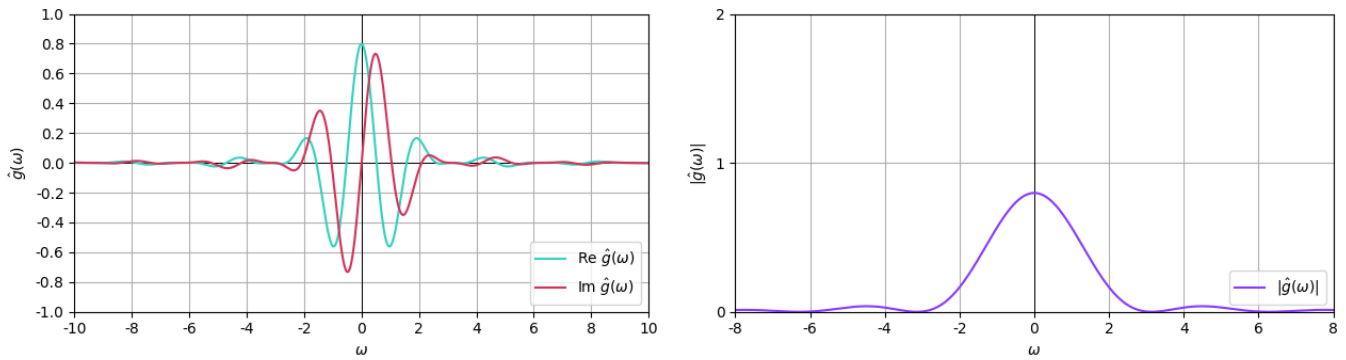
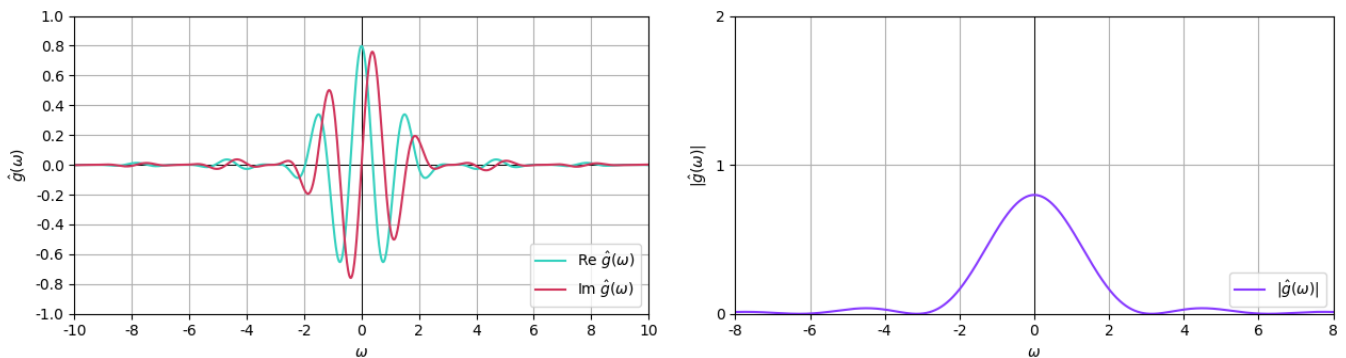


Рис. 17: График функции $g(t)$ со сдвигом $c = -2$

Рис. 18: График функции $g(t)$ со сдвигом $c = 3$ Рис. 19: График функции $g(t)$ со сдвигом $c = 4$

И теперь построим для каждого из сдвигов c графики с действительной и мнимой частями Фурье-образа и модулем Фурье-образа.

Рис. 20: Графики Фурье-образа для исходной функции со сдвигом $c = -5$ Рис. 21: Графики Фурье-образа для исходной функции со сдвигом $c = -2$

Рис. 22: Графики Фурье-образа для исходной функции со сдвигом $c = 3$ Рис. 23: Графики Фурье-образа для исходной функции со сдвигом $c = 4$

Как мы видим, амплитуды действительной и мнимой части Фурье-образа остаются неизменными, а вот чем больше $|c|$, тем выше частота $\text{Re } \hat{g}(\omega)$ и $\text{Im } \hat{g}(\omega)$. В зависимости от знака коэффициента c мнимая часть Фурье-образа находится либо справа ($c > 0$), либо слева ($c < 0$) от оси ординат. Вещественная часть Фурье-образа при этом симметрична относительно оси ординат.

Обратим внимание на модуль Фурье-образа. Он равен при всех сдвигах исходной функции и похож на вещественный Фурье-образ функции, как если бы она не была сдвинута.

Задание №3. Музыкальное преобразование

Перед началом выполнения задания обозначим унитарное преобразование Фурье к обычной частоте ν :

$$\hat{f}(\nu) = \int_{-\infty}^{\infty} f(t) e^{-2\pi i \nu t} dt \quad \Leftrightarrow \quad f(t) = \int_{-\infty}^{\infty} \hat{f}(\nu) e^{2\pi i \nu t} d\nu \quad (\text{обратное преобразование})$$

Для обработки я выбрал аккорд №2 и с помощью библиотеки `librosa` в **Python** я преобразовал сигнал из аудиофайла в набор амплитуд, которые мы теперь можем проанализировать.

В целях упрощения работы с аудиофайлом, в нём предварительно была вырезана лишняя тишина в начале и в конце, а также аудиодорожка была нормализована, чтобы общий уровень громкости поднялся.

Теперь посмотрим на график зависимости времени от амплитуды:

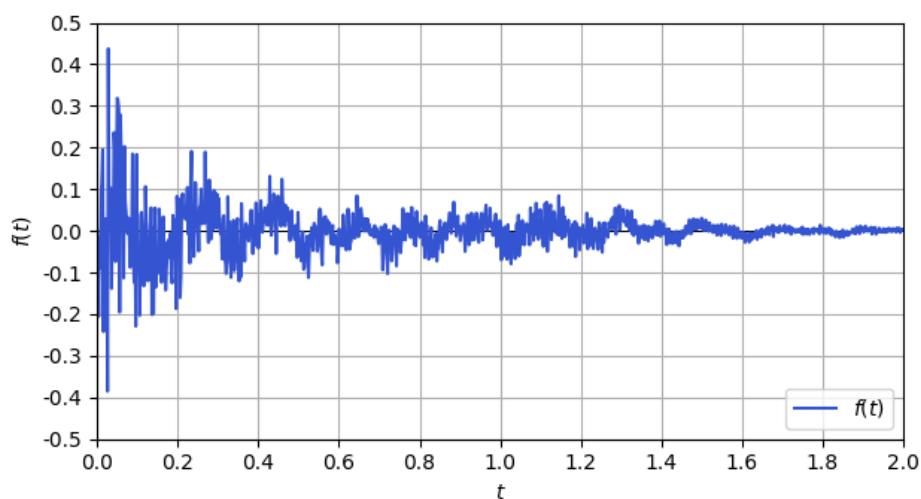


Рис. 24: График зависимости амплитуды от времени

Ну что ж, применим преобразование Фурье к нашему аудиосигналу и посмотрим на модуль получившегося Фурье-образа:

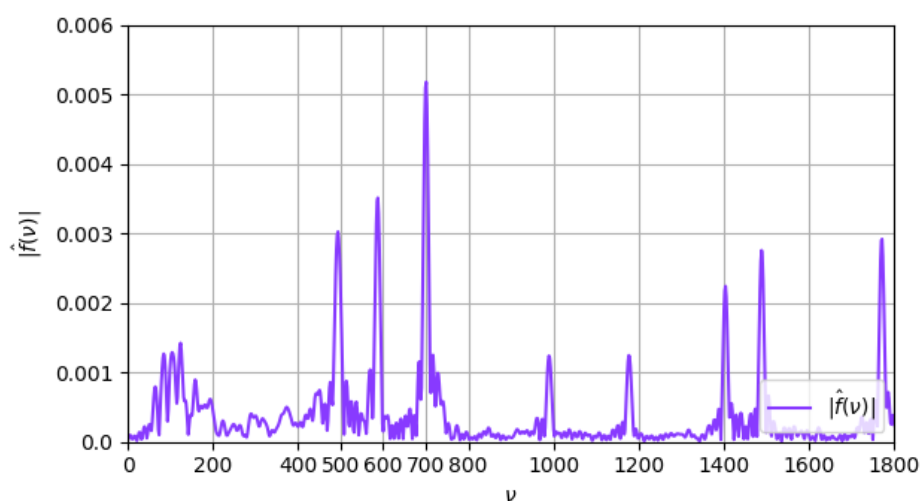


Рис. 25: Модуль Фурье-образа аудиосигнала

На графике я выделил, что на частотах, близких к 500, 600 и 700 Гц находятся пики, которые вероятнее всего определяют аккорд. Уточняем частоты по таблице частот и нот: B4 на частоте 493.88 Гц, D5 на частоте 587.32 Гц и F5 на частоте 698.46 Гц — именно из таких нот состоит аккорд. Убедиться в этом можно, прослушав [мою запись](#) каждой из трёх нот по отдельности. И, если мне не изменяет память, это трезвучие Bdim.